

I - 403

## 絶縁摩擦接合継手の内部応力分布と疲労特性に関する一考察

(財) 鉄道総合技術研究所 正員 市川 篤司 東日本鉄工(株) 正員 羽田 政浩  
 同 上 正員 杉本 一朗 同 上 正員 山田 稔  
 東京都立大学 正員 長嶋 文雄

**1.はじめに** 超電導磁気浮上式鉄道の構造物に鋼橋を用いる場合、継手の摩擦面に絶縁板(ガラス不織布・ガラス布複合基材エポキシ積層板)を挟み込んだ絶縁摩擦接合継手を用いるのが有効であることがこれまでに実施した性能試験より確認されている<sup>1) 2)</sup>。しかし、疲労試験において絶縁摩擦接合継手は摩擦面に何も挟み込まない通常用いられている摩擦接合継手に比べ、疲れ強さが多少低下する傾向が見られた<sup>3)</sup>。そこで摩擦面に何も挟み込まない試験体(Aタイプ)と絶縁板を挟み込んだ試験体(Bタイプ)に静的繰返し荷重を載荷し内部応力分布を明らかにすることにより疲労特性を解明することを試みた。

**2. 静的繰返し載荷試験の概要**

試験体形状を図-1に示す。添接板上面のひずみゲージは、荷重載荷方向の応力分布を確認するため各ボルト間に貼付けた。ボルト孔縁のひずみゲージは、孔縁の応力分布を確認するため添接板と母材の荷重載荷方向および板厚方向に貼付けた。特に端ボルト(B1)の母材孔縁は、疲労試験により疲労亀裂が発生したので、ボルト(B2), (B3)より多くのひずみゲージを貼付けひずみの計測を行った。摩擦面に挟み込んだ絶縁板の厚さは  $t=0.5\text{mm}$  とした。高力ボルトは M22(F10T)を使用し、導入軸力は 22.6tf とした。ボルト孔径はボルト軸部に絶縁のためのゴムを巻き付けるため 26.5φ の過大孔としている。試験は静的最大荷重 100tf の万能試験機を使用して実施した。載荷方法は荷重を序々に増加させ、すべり荷重の 90%程度の 50tf まで載荷し、その後序々に荷重を減少させて 0tf に戻した。このサイクルを 3 回繰り返した。

**3. 試験結果** 試験は、Aタイプ試験体、Bタイプ試験体共に 2 体行った。図-2 に添接板上面とボルト孔縁の荷重載荷方向ひずみの計測結果を示す。試験体 A-1 および試験体 B-1において 0tf~50tf まで 10tf 每の計測結果で、ひずみが増加していく状況を表している。孔縁のひずみは、ボルト(B1)で母材のひずみが大きく、ボルト(B3)では添接板のひずみが大きくなっているのがわかる。添接板上面でも (B3)-(B4) 間のひずみが最も大きくなってしまっており、母材から添接板に応力が序々に流れていく様子がわかる。両試験体とも同じ傾向を示し疲労試験で疲労亀裂の発生した端ボルト位置の母材のひずみが大きくなることが確認できた。また、板厚方向ひずみは荷重載荷方向に比べ 1/5

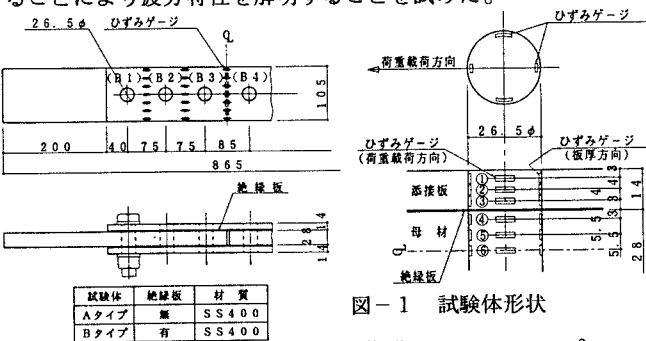


図-1 試験体形状

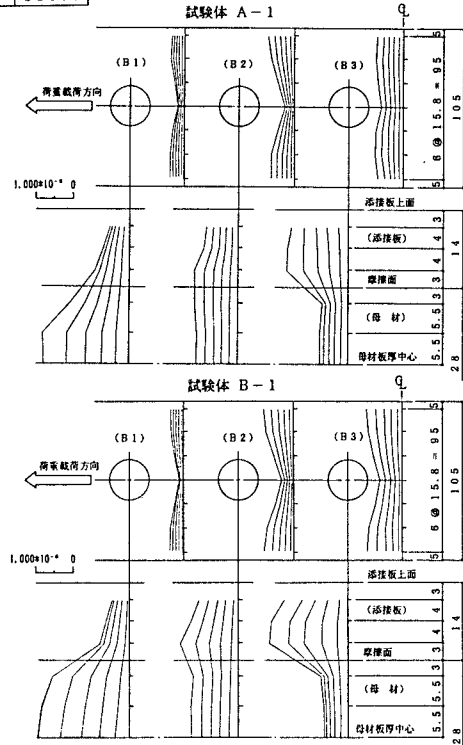


図-2 ひずみの分布状況

程度の小さい値であったので図示は省略した。これらの内部応力分布の状態から端ボルト(B1)の母材孔縁の荷重載荷方向ひずみに着目することとした。図-3に端ボルト(B1)の母材板厚中心(⑥番ゲージ)位置の計測結果を示す。ひずみの変化の状況は、荷重を序々に増加させると緩やかな曲線を描きながら増えていく、荷重を減少させるとほぼ直線で減っていることがわかる。またその後の2サイクルは、ほぼその直線上を増減していくことが明らかになった。試験体A-1は、50tf載荷時のひずみが $2.165 \times 10^{-6}$ 、荷重を除去したときの残留ひずみが $526 \times 10^{-6}$ であり、繰返し載荷時のひずみの振幅はその差と考えられ $1.639 \times 10^{-6}$ となる。試験体B-1も同様に繰返し載荷時のひずみの振幅は $1.939 \times 10^{-6}$ となる。絶縁板を挟み込んだ試験体B-1の方が、繰返し載荷時のひずみの振幅は大きくなっている。

図-4、表-1に端ボルト(B1)位置の孔縁のひずみの振幅を示す。横軸は母材と添接板のひずみゲージの貼付位置とし、各位置でのひずみの振幅の分布状況を表している。△、×印は全ての試験体の計測結果を示し、実線、破線は各計測箇所の平均値を結んだものである。Aタイプ試験体は母材側のひずみと添接板側のひずみの差が比較的少なく、摩擦面でも連続性があり、滑らかな曲線となっている。Bタイプ試験体は母材側のひずみと添接板側のひずみの差が大きく、摩擦面を境に急な勾配になっている。母材のひずみの振幅はBタイプ試験体の方がAタイプ試験体よりもピーク値(⑥番ゲージ)で11%大きいことがわかる。このことから摩擦面に絶縁板を挟み込んだ場合、端ボルトの母材孔縁は、繰返し載荷時のひずみの振幅が大きくなると言える。つまり、疲れ強さが低下する要因は、絶縁板を挟み込むことにより端ボルト母材の孔縁に作用する応力範囲が、絶縁板を挟み込まない場合にくらべ1割程度大きくなるためであることが明らかになった。

**4. おわりに** 今回実施した試験で絶縁板を挟み込むことにより疲れ強さが低下する要因がほぼ明からかになったと考えられる。絶縁板を挟み込んだ絶縁摩擦接合継手を構造物に適用するにあたっては、疲れ強さが多少低下することを踏まえ、具体的な設計手法について検討してみたい。なお、本研究は運輸省の補助対象事業の一環として実施したものである。

**【参考文献】** 1)市川、穴見、杉本、長嶋、山田：絶縁性能を有する高力ボルト摩擦接合継手に関する研究、鋼構造年次論文報告集第1巻 2)杉本、市川、穴見、長嶋、山田、羽田：絶縁摩擦接合継手の繰返し載荷試験報告、土木学会第48回年次学術講演会 3)市川、杉本、長嶋、羽田、山田：絶縁摩擦接合継手の疲れ強さに関する一試験報告、土木学会第49回年次学術講演会

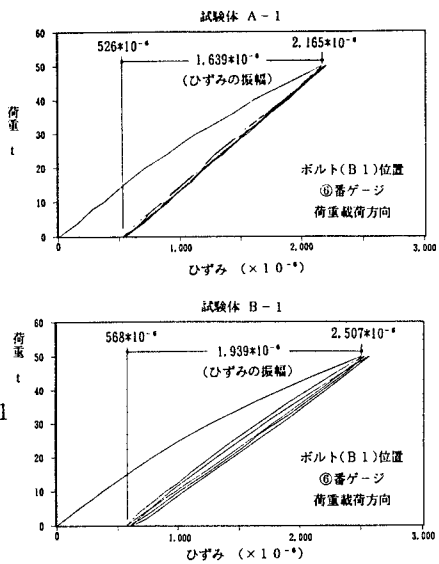


図-3 孔縁のひずみ（繰返し載荷時）

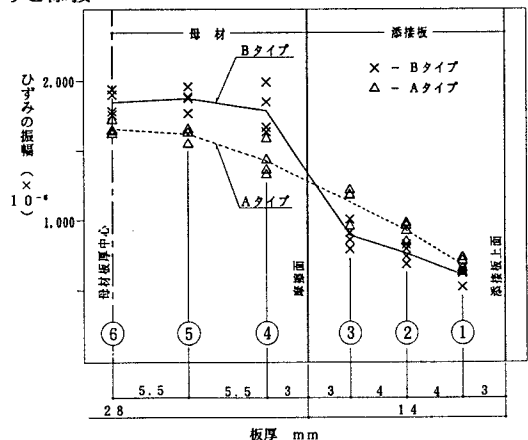


図-4 ひずみの振幅（応力範囲に対応）

表-1 ひずみの振幅の比較

計測箇所	ひずみの振幅の平均値		Bタイプ/Aタイプ
	Aタイプ	Bタイプ	
添接板(①)	$678 \times 10^{-6}$	$605 \times 10^{-6}$	0.89
(②)	$926 \times 10^{-6}$	$762 \times 10^{-6}$	0.82
板(③)	$1.131 \times 10^{-6}$	$833 \times 10^{-6}$	0.79
母材(④)	$1.426 \times 10^{-6}$	$1.785 \times 10^{-6}$	1.25
(⑤)	$1.620 \times 10^{-6}$	$1.872 \times 10^{-6}$	1.16
⑥	$1.656 \times 10^{-6}$	$1.845 \times 10^{-6}$	1.11